

Г. А. ШЕХОВЦОВ

# ГЕОМЕТРИЧЕСКАЯ ИНТЕРПРЕТАЦИЯ КОВАРИАЦИОННОЙ МАТРИЦЫ ОШИБОК КООРДИНАТ ПУНКТОВ

Ковариационная матрица ошибок координат пунктов сети является средством хранения в цифровой форме данных, которые служат источником получения различных критерий. Эти критерии будем называть абсолютными или относительными в зависимости от того, характеризуют ли они точность положения отдельных пунктов или точность взаимного расположения пунктов. Все критерии в той или иной мере являются геометрической интерпретацией ковариационной матрицы, представляя собой радиусы кругов, радиусы-векторы эллипса или подеры (в том числе их большие и малые полуоси), площади кривых. Следовательно, различные кривые (так называемые геометрические критерии) могут служить источником получения, средством хранения в наглядной форме семантометрической информации или наглядной формой сопровождения вычислительных операций. Под семантометрической информацией будем понимать качественную и количественную характеристику содержания, которая заключена в данном геометрическом критерии.

В работах [1—4, 7, 9] рассматриваются некоторые способы геометрической интерпретации ковариационной матрицы ошибок криволинейных и прямоугольных координат. В связи с этим возникает задача выбора рациональных способов и геометрических критерий, позволяющих осуществлять наиболее полную геометрическую интерпретацию как компонентов ковариационной матрицы, так и ее инвариантов и других характеристик.

Пусть (рис. 1, а, б) положение пункта  $P$  на плоскости определено прямой угловой (измерены  $\beta_1$ ,  $\beta_2$  или  $\alpha_1$ ,  $\alpha_2$ ) или линейной (измерены  $s_1$ ,  $s_2$ ) засечкой. В этом случае ковариационная матрица так называемых «фиксированных расстояний»  $l_1$  и  $l_2$  [5] имеет вид матрицы Грама

$$K_{12} = \begin{pmatrix} l_1^2 & l_1 l_2 r_{12} \\ l_1 l_2 r_{12} & l_2^2 \end{pmatrix}. \quad (1)$$

В [5] приведена методика вычисления  $l_1$  и  $l_2$  для различных функций криволинейных координат. В геометрическом смысле (рис. 1)  $l_1$  и  $l_2$  являются радиусами-векторами эллипса средних квадратических отклонений (с. к. о.) по направлению сторон угловой засечки или по перпендикулярным к сторонам направлениям линейной засечки. Одновременно это и радиусы-векторы

подеры эллипса по двум взаимно перпендикулярным направлениям  $a$  и  $a \pm 90^\circ$ .

Большая полуось  $A_0$  эллипса с. к. о., дирекционный угол которой  $\phi_0$ , всегда располагается внутри острого угла  $\gamma$  угловой засечки. Если угол засечки тупой, то большая полуось располагается внутри острого угла, являющегося дополнением угла засечки до  $180^\circ$ . Если засечка линейная, то внутри ее острого угла или внутри острого его дополнения до  $180^\circ$  располагается

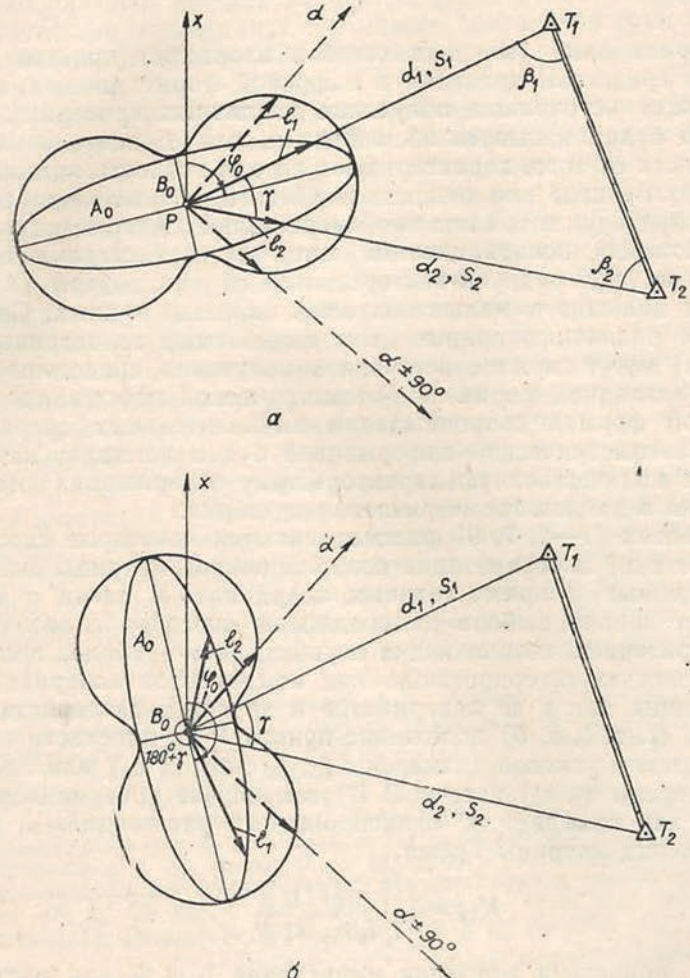


Рис. 1. Геометрический смысл  $l_1$  и  $l_2$  при угловой (а) и линейной (б) засечках.

малая полуось  $B_0$ . Это обстоятельство мы используем в дальнейшем при рассмотрении критериев оптимизации.

Коэффициент корреляции  $r_{12}$  между с. к. о.  $l_1$  и  $l_2$  равен косинусу угла между радиусами-векторами  $l_1$  и  $l_2$  эллипса. Так (рис.

1, а) в случае угловой засечки  $r_{12} = \cos \gamma$ , а линейной (рис. 1, б) —  $r_{12} = \cos(\gamma + 180^\circ)$ .

С учетом сказанного необходимо признать, что эллипс *c. к. о.* и его подера не позволяют осуществлять полную геометрическую интерпретацию компонентов ковариационной матрицы (1). Действительно, из рис. 1 следует, что с помощью эллипса можно продемонстрировать только геометрическое содержание коэффициента корреляции между *c. к. о.*  $l_1$  и  $l_2$ . В свою очередь с по-

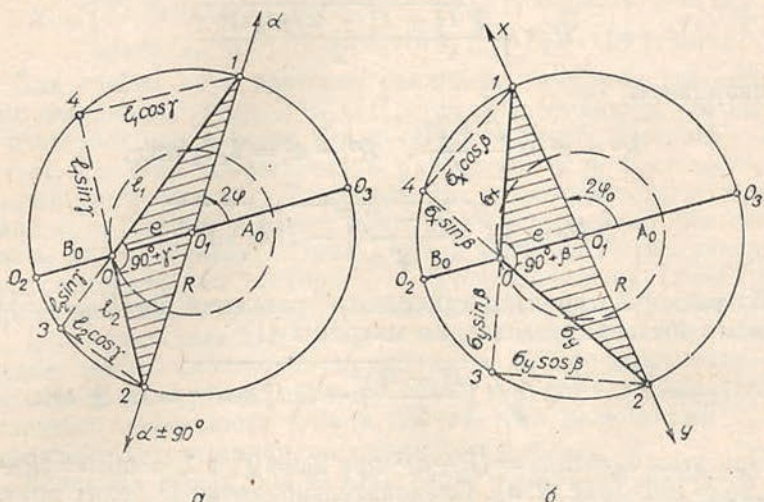


Рис. 2. Окружность с. к. о. в случае криволинейной (а) и прямоугольной (б) системах координат.

мощью подеры можно показать только направления, по которым ошибка положения пункта  $P$  соответствует данным с.к.о.  $l_1$  и  $l_2$ . Сказанное относится к любым радиусам-векторам эллипса и соответствующим им радиусам-векторам подеры, в том числе и к с.к.о.  $\sigma_x$  и  $\sigma_y$  по осям координат.

В связи с такой малой семантометрической информативностью эллипса и его подеры в отношении ковариационной матрицы (1), в работе [7] отдается предпочтение так называемому кругу Мора. Этот круг позволяет непосредственно проиллюстрировать дисперсии  $l_1^2$ ,  $l_2^2$  и кофактор  $l_1 l_2 r_{12}$ . Методика построения такого круга описана в [5].

Как видим, ни один из рассмотренных геометрических критерев не позволяет в явном виде, т. е. без каких-либо дополнительных геометрических построений (если используется эллипс или подера) или аналитических расчетов (если используется круг Мора) показать одновременно одномерное и двумерное распределение случайных величин. Иными словами, эти критерии не позволяют показать одновременно с. к. о.  $l_1$  и  $l_2$ , направление их действия и коэффициент корреляции между ними.

Полную геометрическую интерпретацию ковариационной матрицы (1) можно осуществить с помощью преобразованной формы эллипса — окружности с. к. о. Для этого построим треугольник  $1-O-2$  (рис. 2, а) со сторонами  $l_1, l_2$  и углом  $(90^\circ + \gamma)$  между ними. Проведя из точки  $O_1$ , как из центра, окружность радиусом  $R = O_1 - 1 = O_1 - 2$ , получаем искомую окружность с. к. о. с внутренним эксцентриситетом  $e = OO_1$ . Для такой окружности справедливы равенства

$$R, e = \frac{\sqrt{l_1^2 + l_2^2 \pm 2l_1 l_2 \sin \gamma}}{2} \quad (2)$$

и инварианты

$$R^2 + e^2 = \frac{l_1^2 + l_2^2}{2}, \quad R^2 - e^2 = l_1 l_2 \sin \gamma,$$

$$2Re = \sqrt{\left(\frac{l_1^2 + l_2^2}{2}\right)^2 - l_1^2 l_2^2 \sin^2 \gamma}. \quad (3)$$

Из решения характеристического уравнения  $\det(K_{12} - \lambda E) = 0$  найдем собственные значения матрицы (1)

$$\lambda_{1,2} = \frac{l_1^2 + l_2^2}{2} \pm \sqrt{\left(\frac{l_1^2 + l_2^2}{2}\right)^2 - l_1^2 l_2^2 \sin^2 \gamma} = (R \pm e)^2. \quad (4)$$

При этом  $\lambda_1 = \max = (R + e)^2$  при  $2\phi = 0^\circ$ , а  $\lambda_2 = \min = (R - e)^2$  при  $2\phi = 180^\circ$  (рис. 2, а). Следовательно, точка  $O$  делит диаметр  $O_2O_3$  на отрезки, равные большой  $A_0 = OO_3 = \sqrt{\lambda_1}$  и малой  $B_0 = OO_2 = \sqrt{\lambda_2}$  полуосям эллипса. Поэтому окружность с. к. о с внутренним эксцентриситетом — это окружность, диаметр которой равен сумме корней квадратных из собственных значений ковариационной матрицы, иными словами

$$R, e = \frac{A_0 \pm B_0}{2}. \quad (5)$$

Число обусловленности такой матрицы  $\text{cond } K_{12} = \frac{\lambda_2}{\lambda_1}$  представляет собой в геометрическом смысле отношение квадратов отрезков  $(OO_3)^2 : (OO_2)^2$ , а условие  $\text{cond } K_{12} = \min$  используется для I-оптимизации геодезических построений. С этой точки зрения идеальным случаем является диагональная матрица, что имеет место, например, при полярной засечке, когда  $l_1$  совпадает с  $A_0$ ,  $l_2$  совпадает с  $B_0$  (если  $l_1 > l_2$ ).

Для угла  $2\phi$  (рис. 2, а) справедливо выражение

$$\operatorname{tg} 2\phi = \frac{2l_1 l_2 \cos \gamma}{l_1^2 - l_2^2}, \quad (6)$$

причем по этой формуле получим два значения угла  $\phi$  и  $\phi + 90^\circ$  между направлением  $a$  и полуосами эллипса. Это доказывает,

что  $l_1$  и  $l_2$  являются с. к. о. пункта  $P$  по двум взаимно перпендикулярным направлениям  $a$  и  $a+90^\circ$ . Поэтому, проведя (рис. 2, б) линию  $1-2$  под удвоенным дирекционным углом большой полуоси  $2\varphi_0$ , получаем с. к. о.  $\sigma_x$ ,  $\sigma_y$  и коэффициент корреляции  $r_{xy} = \sin(90^\circ + \beta)$ , что составляет одну из отличительных особенностей окружности с. к. о. Переход от системы криволинейных координат к прямоугольным можно осуществить также аналитически по формуле

$$K = \begin{pmatrix} \sigma_x^2 & \sigma_x \sigma_y r_{xy} \\ \sigma_x \sigma_y r_{xy} & \sigma_y^2 \end{pmatrix} = \begin{pmatrix} \cos \alpha_1 \cos \alpha_2 \\ \sin \alpha_1 \sin \alpha_2 \end{pmatrix} \begin{pmatrix} l_1^2 & 0 \\ 0 & l_2^2 \end{pmatrix} \begin{pmatrix} \cos \alpha_1 \sin \alpha_1 \\ \cos \alpha_2 \sin \alpha_2 \end{pmatrix}. \quad (7)$$

Для любых двух векторов евклидова пространства справедливо выражение  $(l_1 l_2 r_{12})^2 \leq l_1^2 l_2^2$ , откуда с очевидностью вытекает известное неравенство Коши—Буняковского, поскольку  $-1 \leq r_{12} \leq +1$ . Оно обращается в равенство, если векторы  $l_1$  и  $l_2$  коллинеарны ( $\gamma = 0^\circ$ ). Теоретически это соответствует случаю, когда  $B_0 = 0$ ,  $e = R$  и имеет место прямая линейная зависимость  $l_1 = cl_2$ , где  $c$  — скаляр. При  $l_1 l_2 r_{12} = 0$  матрица Грама диагональная, следовательно векторы  $l_1$  и  $l_2$  ортогональны ( $\gamma = 90^\circ$ ), некоррелированы, так как  $r_{12} = \sin(90^\circ + \gamma) = 0$ , а  $l_1$  совпадает с  $A_0$ ,  $l_2$  — совпадает с  $B_0$  (при  $l_1 > l_2$ ). Имеем простое геометрическое доказательство того, что  $A_0$  и  $B_0$  корреляционно независимы. В остальных случаях ( $\gamma \neq 0$  или  $90^\circ$ ) степень тесноты линейной зависимости между случайными величинами  $\sigma_x$  и  $\sigma_y$  характеризуется величиной кофактора  $\sigma_x \sigma_y r_{xy}$ .

Величина кофактора  $\sigma_x \sigma_y r_{xy}$  равна удвоенной площади треугольника  $1-0-2$  (рис. 2, б) и для ее геометрической интерпретации в отличие от эллипса с. к. о. не требуется никаких дополнительных построений. Чем эта площадь больше, тем больше по модулю коэффициент корреляции  $r_{xy}$ . Причем она зависит от соотношения  $e$  и  $R$  и от значения угла  $2\varphi_0$ . Если  $2\varphi_0 = 0^\circ$ , то  $\sigma_x$  совпадает с  $A_0$ , а  $\sigma_y$  — с  $B_0$ . И наоборот, при  $2\varphi_0 = 180^\circ$   $\sigma_x$  совпадает с  $B_0$ , а  $\sigma_y$  — с  $A_0$ . В обоих случаях треугольник  $1-0-2$  трансформируется в прямую линию  $O_2 O_3$ , его площадь равна нулю, следовательно с. к. о.  $\sigma_x$  и  $\sigma_y$  некоррелированы. Кофактор достигает своего максимума по модулю при  $2\varphi_0 = 90$  или  $270^\circ$ , тогда  $\sigma_x = \sigma_y$ ,  $\sigma_x \sigma_y r_{xy} = 2eR$ .

С помощью окружности с. к. о. легко показать, что матрицы (1) и (7) являются подобными. Действительно, преобразования подобия (вращение диаметра  $1-2$  на рис. 2) не изменяют собственных значений этих матриц, поскольку при  $2\varphi$  или  $2\varphi_0 \rightarrow 0$  или  $180^\circ$  эти матрицы постепенно приобретают диагональную форму с расположенными на главной диагонали собственными значениями. Такой наглядностью ни эллипс, ни подера не обладают.

Рассмотрим геометрическую интерпретацию инвариантов и других характеристик матриц (1), (7). Так, след этих матриц

$$Sp K_{12}, K = l_1^2 + l_2^2 = \sigma_x^2 + \sigma_y^2 = A_0^2 + B_0^2 = M_H^2 = 2(R^2 + e^2), \quad (8)$$

представляет собой (см. рис. 2) сумму квадратов двух сторон треугольника  $1-O-2$ , или сумму квадратов отрезков  $O_2O$  и  $OO_3$ , или удвоенную сумму квадратов радиуса и эксцентриситета окружности с.к.о. След матрицы применяется для характеристики точности положения пункта по Гельмерту [8], а условие  $M_H = \min$  является условием  $A$ -оптимизации геодезических построений. Так, угловая засечка считается  $A$ -оптимальной, если ее угол  $\gamma = 109^\circ 28'$ . Заметим, что при наличии в такой засечке только необходимых измерений получим тот же результат и при угле засечки  $70^\circ 32'$ .

Определитель матриц (1), (7) соответствует определителю Грама

$$\det K_{12}, K = l_1^2 l_2^2 \sin^2 \gamma = \sigma_x^2 \sigma_y^2 \sin^2 \beta = A_0^2 B_0^2 = M_W^2 = (R^2 - e^2)^2, \quad (9)$$

т. е. он равен (см. рис. 2) квадрату произведения длин отрезков секущей, проходящей через точку  $O$ , а именно  $(O-1)^2 \times (O-3)^2$ , или  $(O-2)^2 \times (O-4)^2$ , или  $(OO_2)^2 \times (OO_3)^2$ . Эти произведения для данной окружности — величины постоянные, поэтому имеем в отличие от эллипса или подеры простое и наглядное геометрическое толкование инвариантности определителя матрицы относительно выбранной системы координат, в частности углов  $2\varphi$  или  $2\varphi_0$ . Определитель используют в качестве средней ошибки пункта по Веркмайстеру [8], а условие  $M_W = \min$  является условием  $D$ -оптимизации. Угловая засечка является  $D$ -оптимальной, если ее угол  $\gamma = 120^\circ$ . Добавим, что при наличии в такой засечке только необходимых измерений, получим тот же результат при угле засечки  $60^\circ$ .

При различных вариантах засечки (см. рис. 1) получим различные матрицы вида (1) или (7). Сравнение вариантов можно осуществлять путем сравнения между собой (1) или (7) с использованием помимо рассмотренных критериев, например, различных норм этих матриц.

Так,  $m$ -норма матрицы (иначе  $\infty$ -норма, первая норма) равна максимальной по модулю сумме строки, а ее  $l$ -норма равна максимальной по модулю сумме столбца. Но поскольку матрицы (1) или (7) симметричные, то у каждой из них  $m$ - и  $l$ -нормы равны между собой, т. е.

$$m^2 - \text{норма} = l^2 - \text{норма} = \max_{i,j} |a_{ij}|. \quad (10)$$

В геометрическом смысле эти нормы представляют собой максимальную сумму квадрата стороны треугольника  $1-O-2$  и его удвоенной площади. В случае  $2\varphi_0=0$  или  $180^\circ$  обе нормы равны максимальному сингулярному числу  $\lambda_1$  (иначе спектральная норма или нижняя грань матрицы). Это число используют в качестве общей (полней) средней ошибки пункта по Фридриху [8]:

$$M_F^* = \lambda_1 = \frac{M_H^*}{2} + \sqrt{\left(\frac{M_H^*}{2}\right)^2 - M_W^*}, \quad (11)$$

иными словами  $M_F = A_0$ , а условие  $A_0 = \min$  соответствует условию  $E$ -оптимизации геодезических построений. Простая за- сечка отвечает этому условию при  $\gamma = 90^\circ$ .

$K$ -нормой матриц (1) или (7), иначе евклидовой или сферической нормой, является корень квадратный из суммы квадратов всех компонентов матрицы

$$K^2\text{-норма} = \sqrt{\sum_{i,j} |a_{ij}|^2}, \quad (12)$$

геометрический смысл этих элементов показан выше.

$M$ -норма матриц (1) или (7)

$$M^2\text{-норма} = (mn)^{\frac{1}{2}} \max |a_{ij}| = 2 \max |a_{ij}|, \quad (13)$$

т. е. равна удвоенному максимальному значению квадрата стороны треугольника 1—0—2.

Из других скалярных оценок отметим Гауссову среднюю ошибку пункта

$$M_G^2 = G\{(\lambda_1, \lambda_2)\} = \left(\frac{V\lambda_1 + V\lambda_2}{2}\right)^2 = R^2, \quad (14)$$

откуда  $M_G = R$  и представляет собой радиус окружности с. к. о.

Критический анализ некоторых скалярных оценок рассматривается в работах, например, Б. И. Никифорова, В. Г. Конусова, В. А. Коугия, в том числе и нами в работе [5]. Дополним этот анализ следующими соображениями. Во-первых, такие оценки, как  $M_H$ ,  $M_W$ ,  $M_F$ ,  $M_G$  и  $K$ -норма матрицы не зависят от ориентировки эллипса с. к. о. относительно координатных осей, следовательно, и от коэффициента корреляции  $r_{xy}$ . Во-вторых,  $m$ -,  $l$ - и  $M$ -нормы не учитывают всех элементов матрицы, что также относится, например, и к радиальной ошибке  $M_H$ . Поэтому с целью устранения указанных недостатков мы предлагаем радиальную ошибку с учетом корреляции, которую можно назвать  $M_k$ -нормой матрицы:

$$M_k^* \text{-норма} = \sum_{i,j} |a_{ij}| = M_H^* + eR |\sin 2\varphi_0|, \quad (15)$$

равная сумме абсолютных значений компонентов матрицы (1) или (7). Второе слагаемое выражения (15) учитывает одновременно форму эллипса с. к. о. и его ориентировку. Это качество  $M_k$ -нормы матрицы позволяет рекомендовать ее для более объективной сравнительной оценки точности положения геодезических пунктов одним числом.

В дополнение к сказанному отметим, что при оптимизации геодезических построений особый интерес представляет  $E$ -оптимальное положение пункта. Это возможно при  $\lambda_1 = \min$ , когда

согласно рис. 2  $A_0 = R = B_0$ . В геометрическом смысле это приводит к нулевому эксцентризитету окружности с. к. о. и упрощению всех вышеприведенных формул. Кроме того, если принять во внимание площади кругов радиуса  $R$  и  $e$ , то их разность равна площади эллипса, а сумма — площади подеры этого эллипса. При этом длина окружностей большого и малого кругов является функцией следа и определителя матриц (1) и (7):

$$2\pi(R, e) = \pi \sqrt{sp K_{12}, K} \pm 2\sqrt{\det K_{12}, K}. \quad (16)$$

Отметим одну особенность при геометрической интерпретации с помощью окружности с. к. о ковариационной матрицы ошибок прямоугольных координат пунктов сети  $\sigma_0^2 Q$ , где  $\sigma_0^2$  — дисперсия единицы веса,  $Q$  — матрица обратных весов неизвестных. На практике для построения эллипса, подеры или круга Моора для отдельного пункта сети предварительно вычисляют  $A_0$ ,  $B_0$  и  $\varphi_0$ , а дальнейшие построения геометрических критериев осуществляют различными способами, в том числе с привлечением средств компьютерной графики. Для этого необходимо наличие программ для ЭВМ, обеспечивающих требуемые вычисления и построения кривой.

Эффективность предлагаемого способа геометрической интерпретации заключается в том, что, выделив в матрице  $\sigma_0^2 Q$  блок  $2 \times 2$ , относящийся к  $i$ -му пункту сети, необходимо вычислить только угол

$$(90^\circ + \beta_i) = 180^\circ - \arcsin \frac{\sigma_{x_i} \sigma_{y_i} r_{x_i y_i}}{\sigma_{x_i} \sigma_{y_i}}. \quad (17)$$

На сторонах этого угла достаточно отложить значения  $\sigma_{x_i}$  и  $\sigma_{y_i}$  и получить окружность с. к. о (рис. 2, б), причем сразу ориентированную относительно координатных осей, поскольку ее диаметр 1—2 дает направление осей  $x$  и  $y$ . Если подсчитанное по формуле (17) значение угла меньше  $180^\circ$ , то точка  $O$  должна находиться слева по отношению к оси  $x$  (левый эксцентризитет). При значении угла больше  $180^\circ$  точка  $O$  должна находиться справа по отношению к оси  $x$  (правый эксцентризитет). Для полученной таким образом окружности с. к. о. справедливы все вышеприведенные соображения. Добавим, что с помощью разработанных нами приборов [6] можно по значениям только  $\sigma_x$ ,  $\sigma_{y_i}$  (используемым в качестве «фиксированных расстояний») и углу  $(90^\circ + \beta_i)$  непосредственно вычерчивать эллипс, подеру, окружность с. к. о. и другие геометрические критерии без каких-либо дополнительных затрат времени.

До сих пор речь шла об абсолютных геометрических критериях, характеризующих погрешность положения отдельных пунктов сети. Для построения относительных критериев, характеризующих точность взаимного положения пунктов, необходимо матрицу  $Q$  преобразовать в матрицу весовых коэффициентов приращений координат

$$Q_{\Delta x \Delta y} = f Q f^T, \quad (18)$$

где  $f$  — матрица преобразования уравненных координат в приращения координат, состоящая из нулей и единиц, а  $f^T$  — транспонированная по отношению к ней матрица. К полученной таким образом ковариационной матрице  $\sigma_0^2 Q_{\Delta x \Delta y}$  применимы все выше-приведенные формулы и приемы.

Таким образом, окружность с. к. о. является полной и наглядной формой геометрической интерпретации ковариационной матрицы ошибок координат и приращений координат пунктов сети.

1. Ганшин В. Н. Эллипс ошибок и характеристика точности // Изв. вузов. Геодезия и аэрофотосъемка. 1986. № 6. С. 3—12.
2. Гордеев Ю. А. Обобщение приемов оценки точности положения пунктов плановых опорных геодезических сетей // Уч. зап. высш. морского училища им. адм. Макарова. Л., 1959. вып. 15. 133 с.
3. Конусов В. Г. Критерии точности планового положения пунктов инженерно-геодезических сетей // Совершенствование методов инженерно-геодезических работ. Новосибирск. 1981. Т. 13/53. С. 3—11.
4. Торопин Е. В. Геометрическое представление компонентов ковариационной матрицы погрешностей и ее инвариантов // Маркшейдерское дело и геодезия. Новые результаты в области автоматизации, методики и обработки маркшейдерско-геодезических измерений. Л., 1988. С. 105—109.
5. Шеховцов Г. А. Критерии и средства геометрической интерпретации погрешности положения точек на плоскости. — Горький. 1987. 198 с. — Рукопись деп. в ВИНИТИ, № 192 — В87.
6. Шеховцов Г. А. О геометрической интерпретации ошибки положения точки на плоскости // Геодезия и картография. 1987. № 6. С. 25—28.
7. Grafarend E. Helmertsche Fusspunktcurve oder Mohrscher Kreis? // Allgemeine Vermessungs — Nachrichten. 1969. Bd. 76. № 6. S. 239—250.
8. Grafarend E. Mittlere Punktfehler und Vorwartseinschneiden // Zeitschrift für Vermessungswesen. 1971. Bd. 96. № 2. S. 41—54.
9. Konopasek W. Eine graphische Darstellung der Formeln für die Punktlagegenauigkeit in der Ebene und für die Fehlerellipse // Z. Vermessungswesen. 1964. Bd. 89. № 4. S. 118—122.

Статья поступила в редакцию 28.06.89